新型含β三酮取代基的恶二唑衍生物的合成与电化学性质

赵国欣 杜晨霞 冶保献*(郑州大学化学系 郑州 450052)

关键词 恶二唑, β二酮, 紫外 可见吸收光谱, 电化学, 能量轨道

中图分类号: 0657.1

文献标识码: A

文章编号: 1000-0518(2007)07-0742-05

探索新型杂环化合物的合成方法并研究其性质已成为当今化学界非常热门的研究课题, 在现有的众多杂环化合物中, 恶二唑类化合物由于其广泛的生物活性, 在医药和农业方面有着重要的应用价值; 同时, 1, 3, 4-恶二唑 (OXD)及其衍生物还有较强的电子亲和势, 具有电子传输功能, 是一类荧光性很强的化合物, 使人们产生了极大兴趣[1]。因而把 OXD环引入不同的高分子体系中, 制成电子传输、发光、空穴传输一体化的高分子发光材料将成为一个很有价值的研究课题。另一方面, β二酮类化合物在分析化学领域特别在镧系、锕系元素及多种有色金属的分离、分析方面应用十分广泛[2]。 β二酮取代基引入恶二唑体系得到的 β二酮取代基的恶二唑衍生物将会具有非常重要的研究和应用价值。该类化合物一般可通过 1, 2三酰肼脱水, 经电化学[3]或用毒性很大的醋酸铅氧化醛 N酰基腙[4]制得, 最近又有研究报道采用有机高碘化合物氧化醛 N酰基腙[5]合成此类化合物。本文通过二酰肼脱水反应合成了含恶无唑基团的 β二酮化合物,并对其进行了紫外可见光谱及电化学性质的研究。同时估测了其最高占有分子轨道(HOMO)和最低空分子轨道(ILMO)的能量大小,这对于优化选择合成材料,提高和完善器件的性能以及设计多层结构的电致发光器件等具有重要意义 (10,10)

1 实验部分

1.1 仪器和试剂

 $B^{\text{ruker Vecto}}$ 22型红外光谱仪(德国 B^{ruker} 仪器公司), $B^{\text{ruker DPX}}$ 400MH型超导核磁共振仪(德国 B^{ruker} 仪器公司), V^{rop} 400MH型超导核磁共振仪(德国 B^{ruker} 0 V^{rop} 400MH200 V^{rop} 400 $V^{\text{r$

高氯酸四丁基铵(TBAP)参照文献 [7]方法合成;实验所用其他试剂均为分析纯。

- 1. 2 4-(5甲基 噁二唑基) 苯基 1,3丁二酮的合成
- 1. 2.1 4乙酰基苯甲酰肼的合成 称取 4乙酰基苯甲酸甲酯 (化合物 I)1. 78 g (0.01 mol)加入到 10 mI 甲醇中,并加热溶解,将 10 mI 体积分数为 50%水合肼溶液逐滴加入,滴入后,70 $^{\infty}$ 回流 3 h 减压蒸去溶剂,冷却,抽滤得淡黄色固体,用甲醇重结晶得 4乙酰基苯甲酰肼 (化合物 II)1. 51 g 产率为 84. 8%。 mp 171~174 $^{\infty}$, 1 H MM R § 2. 226 (§ 3 H), 7. 920 (§ 4 H)。
- 1.22 NZ 酰基 4乙酰基苯甲酰肼的合成 称取化合物 (II)1.78 g(0.01 mol)分批加入到乙酸酐中,

²⁰⁰⁶⁻⁰⁸⁻¹⁶收稿, 2006-11-02修回

保持室温搅拌 3 \upmathbb{h} 抽滤, 得浅黄白色固体,将其加入水中水解重结晶, 得淡黄白色固体 N乙酰基 -4 乙酰基苯甲酰肼 (化合物 III) 1. 86 \upmathbb{g} 产率为 84. 5%, \upmathbb{m} 143 ~145 \upmathbb{C} , \upmathbb{H} NMR \upmathbb{h} 1. 921 (\upmathbb{S} 3H), 2. 251 (\upmathbb{S} 3H), 7. 882 (\upmathbb{d} 4H)。

1.23 2-(4乙酰基苯基)5甲基-(1,34) 恶二唑的合成 称取化合物 (III)2 20 g(0.01 mol/m入到 70 gS聚磷酸 (PPA)中,机械搅拌下加热到 130 ℃,反应 3 h用 10 mol/L N 和 PH=6.5 抽滤,滤液用氯仿萃取 3次,用无水 N g SQ干燥溶液 3 h滤出 N g SQ固体,将氯仿蒸出,将所得固体与抽滤固体合并,用乙醇重结晶得 2-(4乙酰基苯基)5甲基-(1,34) 恶二唑 (化合物 IV)1.85 g产率为 91.5%,mp 140 ~ 143 ℃,1 NMR δ 2.662 (\$3H) 2.671 (\$3H) 8.099 (\$4H)。

Scheme 1 Synthetic route of 4-(5-methyloxadiazole) - Phenyl 3 butyld ketonate

2 结果与讨论

2.1 化合物的 UV-V i 吸收光谱分析

化合物的紫外 可见吸收光谱如图 1所示。图中可见,谱线有 2个吸收峰,其吸收波长分别为 276.5

和 416 $^{\text{m}}$, 它们分别对应 $^{\text{B}}$ 三酮的 $^{\pi}$ $^{\pi}$ 跃迁和 $^{\text{n}}$ $^{\pi}$ 跃迁。自由 $^{\text{B}}$ 三酮 $^{\text{n}}$ $^{\pi}$ 跃迁吸收峰一般在 $^{\text{200}}$ $^{\text{200}}$ $^{\text{m}}$, 由于恶二唑基团的引入,使该化合物 形成大的 $^{\pi}$ 电子共轭体系,增加了 $^{\pi}$ 电子的离域范围,同时降低了 $^{\text{n}}$ $^{\pi}$ 跃迁的禁带宽度,因此使得该 化合物的 $^{\text{n}}$ $^{\pi}$ 吸收向长波方向移动。根据分子轨 道理论,最高占有轨道(HOMO)和最低空轨道(ILMO)之差定义为带隙 $^{\text{E}}$ 强常情况下,带隙由紫外可见光谱的起峰波长 $^{\text{N}}$ $^{\text{m}}$ $^{\text{E}}$ 因此可以根据吸收光谱的起峰波长 $^{\text{N}}$ $^{\text{E}}$ 因此可以根据吸收光谱的起峰波长 $^{\text{N}}$ $^{\text{E}}$ 因此可以根据吸收光谱的起峰波长 $^{\text{N}}$ $^{\text{E}}$ $^{\text{E}}$

2.2 化合物的循环伏安行为

在-1.2~-2.0 V($^{\text{YS}}$ SCE)电位区间,以 0.1 mol/L TBAP为支持电解质,测试了化合物在不

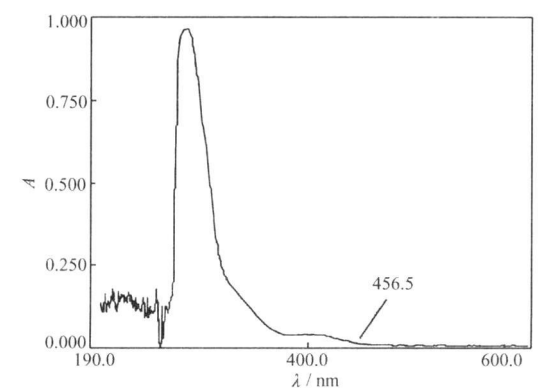


图 1 4-(5甲基 - 張二唑基) 苯基1 3丁二酮的紫外可见光谱
Fṣ 1 UV-V is spectrum of 4-(5-m ethyloxad iazole)Phenyl, 3 bu vl diketonate

由于该化合物形成了大的 II 电子共轭结构,因此其峰位置可能较其它恶二唑化合物 II 的峰位置发生了移动。与此同时我们还发现,峰电流与扫描速度的平方根基本成正比(见图 3)。这说明化合物在电极上的反应是受扩散控制的。

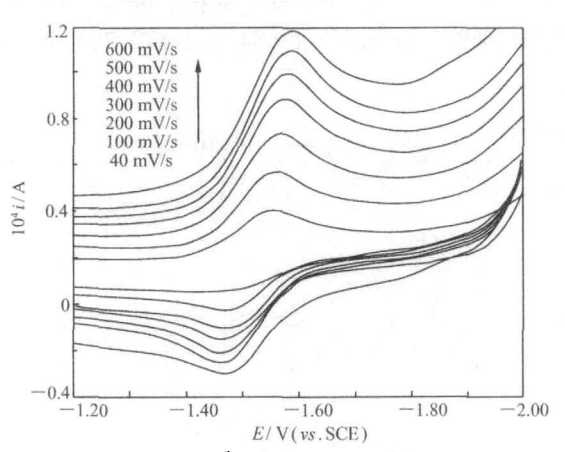


图 2 4-(5甲基 感二唑基) 苯基-1 3丁二酮在 0 1 mol/L TBAP为支持电解质的 DMF溶液中不同扫描速度下的循环伏安图(\$\simeq 5 \times 10^{-3} \text{ mol/L}) Fig 2 Cyclic voltamm ogram s of 5. 0 \times 10^{-3} \text{ mol/L} 4-(5-mehyl-oxadiazole)_Phenyl 1 3 bu vol diketonate in DMF with 0 1 mol/L TBAP at different scan rates

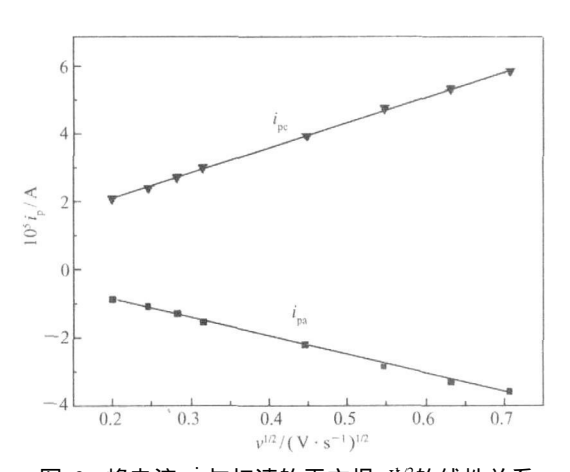


图 3 峰电流 与扫速的平方根 **2的线性关系 Fg 3 Linear relation between the peak current and the square root of the scan rate

2.3 电极过程动力学参数的测定

2~3~1 电子传递系数 α 的测定 电子传递系数 α 是电极反应能量势垒的量度。对于准可逆反应,采用常规脉冲伏安法 (NPV)测定 α 根据常规脉冲伏安法的波方程 [1]:

$$E = E_{12} + 2 303 \frac{RT}{\alpha nF} \mathbb{E}^{\frac{i}{i} - i}$$
 (1)

由 NPV波方程,作 $E \sim \mathbb{E}((\frac{1}{2}-\frac{1}{2})/\frac{1}{2}$ 关系曲线的斜率,测得氧化峰的 $(\alpha^{(1)}) = 0.68$ 还原峰的 $(1-\alpha)^{(1)} = 0.46$ 二者之和几乎接近 1 这进一步验证了电子转移数 n=1 因此求得 $\alpha=0.61$ 。另外,我们又采用线性扫描伏安法求算 α 值。线性扫描准可逆波峰电位和半峰电位之间具有如下关系[11]:

$$E_{P} - E_{P/2} = \frac{1.857 \,\text{RT}}{\alpha \,\text{nF}} \tag{2}$$

根据式 (2) 我们求得的 $\alpha=0.65$ 与上述常规脉冲伏安法求得数值接近。我们取其平均值 0.63作为电子传递系数 α 的测定值。

2 3 2 化合物在电极表面的扩散系数 D 由上所述,氧化还原峰电流均与扫描速率的二分之一次方呈

一次线性关系,说明化合物的电极反应过程是受扩散控制的,为此,我们分别用计时电流法(CA)和计时电量法(CC)考察了其扩散系数(D)。根据 C^{O} 能据:

$$\dot{\zeta} = \frac{nFAD_0^{1/2}C_0}{(\pi \ b)^{1/2}} + i$$
 (3)

$$Q(\mathfrak{h} = \frac{2 \, {^{1}FAD_{0}^{1/2} \, C_{0}^{1/2}}}{\pi^{1/2}} + Q_{11}$$
 (4)

2.3.3 电极反应表观速率常数 🐚 测定 根据文献[11]线性扫描准可逆和不可逆峰电位方程为:

$$E_{P} = E^{0} + \frac{RT}{\alpha nF} [0.780 + \ln \frac{D_{R}^{1/2}}{k} + \ln (\frac{\alpha nF}{RT})^{1/2}]$$
 (5)

根据式 (5) 由峰电位 E对 $\ln^{1/2}$ 作直线,由截矩可求得 k=4. 83×10^{-2} cm/s 这个结果较文献 $\ln^{1/3}$ 所报道的博莱霉素的 $\ln^{1/2}$ 体系,以上,这个结果较文献 $\ln^{1/3}$ 所报道由于该试验选择的是非水体系,因此求得的结果也会有所不同。

2.4 循环伏安法对化合物能带结构的估测

由于有机物的特性和电极反应的复杂性,人们一般通过测定有机物的氧化峰的启动电位 E_{extonse} 或者还原峰的启动电位 $E_{\text{Red,unse}}$ 直接推算 HOMO或 ILMO能级数值 $^{[9]}$ 。公式 $(6) \sim (8)$ 给出了建立在此理论下的由电化学方法计算 HOMO和 ILMO能量的关系式。

$$E_{HOMO} = -|P_I| = -|E_{OX-onset} + 4.74 \text{ eV}|$$
 (6)

$$E_{LLMO} = -|E_A| = -|E_{RED.onset} + 4.74 \text{ eV}|$$
 (7)

$$E_{g} = |P_{I}| - |E_{A}| = |E_{HOMO}| - |E_{IMO}| = E_{IMO} - E_{HOMO}$$
 (8)

$$E_{IMO} = - |E_{Relonset} + 4.74 \text{ eV}| = -3.45 \text{ eV}$$

而由紫外 可见吸收光谱已经得到得带隙 E为 2.72 eV因此。

$$E_{\text{HOMO}} = E_{\text{LIMO}} - E_{\text{g}} = -6.17 \text{ eV}$$

结果表明,该化合物具有较高的电子亲和势($E_{A}=3.45$ eV),明显高于常用的电子传输材料 2-(4-联苯基)-5 对叔丁基苯基)-1、3.4 恶二唑(PBD)的电子亲和势($E_{A}=2.82$ eV)^[14]。因而将其用作电子传输层时,由于具有较高的电子亲和势,对空穴具有优良的阻挡作用,从而可以大大地提高电致发光器件的效率。

参考文献

- 1 Franco Q Reck G Orgzall J Reck G Stockhause S Schulz B J Phys Chem Sot J, 2005 66 994
- 2 BrioHFMalaOL Menezes JFS JAlbys Compd J. 2000 304 336
- 3 Chiba T Mitsuhiro Q J Org Chem J, 1992 57(5): 1375
- 4 Gladstone WAFAY ward JBNormanROC JChem Soq J, 1969 19, 2587
- 5 Yang R Y, Dail X, JOrg Chem J, 1993 58 (12): 3 381
- 6 SONG Wen_Bo(宋文波), CHEN Xi(陈旭), WU Fang(吴芳), TIAnWen Jing(田文晶), MA Yiu-Guang(马淤光), XU

Hong D ing(许宏鼎). Chem J Chinese Univ(高等学校化学学报)[J, 2000 21(9): 1 422

- 7 TENG Dao Zhao(藤嶋昭)、XIANG Ze-Yi-Nan(相澤益男)、JNG Shang-Zhe(井上辙). CHEN Zhen(陈震), YAO Jian Nian(姚建年) Trans CAI Sheng Min(蔡生民) Proof The Methods of Electrochemical Measuration (电化学测定方法)[M]. Beijing University Press 北京大学出版社), 1995, 115
- 8 Bakker B H, Goes M, Hoebe N, van Ramesdonk H J, Verhoeven JW, Werts M H V, Hofstadter JW. Coord Chen Rev [J, 2000 208(3): 115
- 9 Pei, JYuWL, Ni JLaiYH, HuangW, HeegerAJ Macromolecules J, 2001, 34, 7, 241
- 10 XU Shen.Gang(徐慎刚). Doctoral Dissertation [博士学位论文]). Zhe jiang(浙江). Institute of Polymer Science & Engineering Zheng jiang University(浙江大学高分子化学与物理研究所), 2003
- 11 LIQiLong(李启隆) Chief Edr(主编). Electroanalytical Chemistry(电分析化学)[M], Chapt 9 14 and 15(第 9 14 和 15章). Beijing trip, in Beijing nomal university Press(北京师范大学出版社), 1995
- 12 Newcombe D T Cardwell T J Cattrall R W, Kolev SD. JMembr Sci. J, 1998 141 155
- 13 LIQiLong李启隆 , TAN Xue Cai(谭学才), HU Jin Bo(胡劲波). Chen J Chinese Univ高等学校化学学报)[J, 1997, 18(1): 37
- 14 WU Fang(吴芳), TIANW en_ Jing(田文晶), MA Yu-Guang(马於光), SHEN Jia-Song(沈家骢), HUANG Jin-Snog(黄 劲松), YANG Yi(杨毅), JIANG Hong Jin(姜宏锦), LIU Shi-Yong(刘式墉), NI Yan-Ru(倪燕如). Chinese J Lumin (发光学报)] J, 1998 19 (2): 158

Synthesis and E lectrochem ical Characteristics of A New Oxadiazol Derivative with β-Diketonate

ZHAO Guo.X in DU Chen.X ia YE Bao.X ian*
(Department of Chem istry Zhengahou University Zhengahou 450052)

Abstract 4-(5-Methyloxadiazole) - Phenyll, 3 butyl diketonate was synthesized via dehydration reaction of 4-acetyl Phenyllom ic ester and hydrazine hydrate and characterized by R and R HNMR. UV-V is spectra and electrochemical characteristics of the compound were investigated. In addition, the energy gap(E_g) was evaluated to be 2.72 eV from the onset absorption wavelength(λ_{caset}/m) of the UV-V is spectra, and the energy levels of the highest occupied molecular orbital (HOMO) and the lowest unoccupied molecular orbital (ILMO) were calculated by cyclic voltammenty (CV) and UV-V is spectramenty. The measurement results of the energy levels indicate that the electron affinity of the compound is higher than that of PBD which is the normal electron transporting material. Thus it could improve the efficiency of the electrolum nescent device when it is used as electron transport layer.

 $K \ eywords \quad oxadiazo \ |e \ \beta - di | k \ etona \ |e \ UV - V \ |s \ spectra \quad e|ectrochem \ |stry \ energy \ |eve|s$